



## مقایسه تأثیر تابش پالس پروتون‌های پرانرژی تولید شده در دستگاه پلاسمای کانونی بر روی فلزات سخت

\*میرمحمد رضا سید حبشي\*

پژوهشکده پلاسمما و گداخت هسته‌ای، پژوهشگاه علوم و فنون هسته‌ای، سازمان انرژی اتمی ایران، صندوق پستی: ۱۴۳۹۹-۵۱۱۱۳، تهران- ایران

\*Email: m.seyedhabashy@gmail.com

### مقاله‌ی پژوهشی

تاریخ دریافت مقاله: ۱۴۰۲/۳/۲۲ تاریخ بازنگری مقاله: ۱۴۰۲/۶/۷

### چکیده

در این تحقیق اثرات تخریب پروتون‌های پرانرژی تولید شده در دستگاه پلاسمای کانونی بر روی مورفولوژی سطحی و همچنین پارامترهای ساختاری تنگستن و مولبیدن مورد بررسی قرار گرفت. نمونه‌های تنگستن و مولبیدن که در فاصله ۶ سانتی‌متری از سر آند قرار داده شدند در ۲۰ تخلیه با یون‌های هیدروژن مورد تابش قرار گرفتند. نمونه‌ها قبل و بعد از تابش دهی با میکروسکوپ الکترونی مورد بررسی قرار گرفتند. نتایج میکروسکوپ الکترونی روشنی نشان می‌دهد که تابش پروتون‌های پرانرژی بر سطح تنگستن و مولبیدن باعث به وجود آمدن تاول، ترک و ذوب‌شدگی در سطح نمونه‌ها شده است. از کد لی به منظور مشخصه‌یابی باریکه یونی دستگاه پلاسمای کانونی استفاده شد. نتایج کد لی نشان می‌دهد که در هر تخلیه تعداد  $7.9 \times 10^{14}$  یون از ستون پلاسما ساطع می‌شود. از کد SRIM برای محاسبه تخریب ایجاد شده در تنگستن و مولبیدن و تراکم هیدروژن در عمق‌های مختلف تنگستن و مولبیدن استفاده شد. بر اساس نتایج کد SRIM بیشینه مقدار shot dpa برای نمونه‌های تنگستن و مولبیدن تابش داده شده با یون‌های هیدروژن به ترتیب در عمق‌های ۱۵۰ و ۲۵۰ نانومتر و برابر با ۰.۰۲۵ و ۰.۰۱۴ بروآورد شد. بیشینه تراکم یون‌های هیدروژن در نمونه تابش داده شده تنگستن و مولبیدن در عمق‌های ۱۵۰، ۲۵۰ نانومتر به ترتیب ۰.۴ و ۰.۰۳۵ درصد می‌باشد.

**کلیدواژه‌ها:** دستگاه پلاسمای کانونی، مواد مجاور با پلاسمما، تنگستن، مولبیدن، اثرات تخریبی

## Comparison of the effect of high-energy proton pulse radiation produced in a plasma focus device on hard metals

M.M.R. SeyedHabashi\*

Plasma and Nuclear Fusion Research Institute, Nuclear Science and Technology Research Institute, AEOI, P.O.Box: 14399-51113, Tehran - Iran

### Research Article

Received: 12.6.2023, Revised: 25.8.2023, Accepted: 28.8.2023

### Abstract

In this research, the effects of high-energy proton bombardment produced by the plasma focus device on the surface morphology and structural parameters of tungsten and molybdenum were investigated. Tungsten and molybdenum samples, placed 6 cm from the anode head, were irradiated with hydrogen ions for 20 discharges. The samples were examined before and after irradiation using a scanning electron microscope (SEM). The SEM results revealed blisters, cracks, and surface melting on both tungsten and molybdenum samples due to high-energy proton irradiation. To characterize the ion beam of the plasma focus device, Lee's code was employed. Lee's code indicated approximately  $7.9 \times 10^{14}$  ions are emitted from the plasma column in each discharge. Additionally, the SRIM code was used to calculate damage caused by tungsten and molybdenum. In addition, it calculated the hydrogen density at various depths within the materials. According to the SRIM code results, the maximum value of displacements per atom (dpa) per shot for tungsten and molybdenum samples irradiated with hydrogen ions was estimated to be 0.025 and 0.014, respectively, at depths of 150 nm and 250 nm. Moreover, the maximum concentration of hydrogen ions in the irradiated samples of tungsten and molybdenum at depths of 150 nm and 250 nm was 0.4% and 0.035%, respectively.

**Keywords:** Plasma focus device, Plasma facing material, Tungsten, Molybdenum, Radiation damage



همچنین در برابر فرسایش ذرات پلاسمما بسیار مقاوم است و نرخ کندوپاش پایینی دارد. تنگستن نسبت به مولیبدن دارای مقاومت بالاتر در برابر تابش نوترون است و سطح مقطع فعال شدگی آن در اثر تابش نوترون بسیار کم است. استفاده از تنگستن به عنوان یک ماده مجاور با پلاسمما نیز دارای معایبی است. تنگستن به دلیل سختی و شکنندگی می‌تواند دچار ترک خودرگی و فرسایش سطحی تحت شارهای حرارتی بالا و بمباران ذرات پلاسمما شود [۱۱-۱۲].

برهمکنش یون‌های پرانرژی با مواد دیوار توکامک شامل مکانیسم‌های مختلفی از جمله کندوپاش، کاشت و آسیب تابش است. کندوپاش زمانی رخ می‌دهد که یون‌های پرانرژی با سطح مواد دیوار توکامک برخورد می‌کنند، در این صورت یون‌های برخوردکننده می‌توانند تکانه و انرژی خود را به اتم‌های موجود در ماده منتقل کنند. این انتقال تکانه می‌تواند باعث شود اتم‌های موجود در ماده از سطح خارج شوند. کندوپاش منجر به فرسایش مواد و آزاد شدن اتم‌ها یا خوش‌های کوچک اتم از سطح مواد می‌شود. مورد بعدی کاشت یون‌های پرانرژی در مواد است، در این مورد یون‌های پرانرژی به سطح مواد دیوار توکامک نفوذ کرده و در داخل ماده حبس می‌شوند. یون‌های کاشته شده می‌توانند باعث تغییرات ساختاری در مواد شوند، مانند نقص شبکه یا تغییر در ترکیب شیمیایی. کاشت یونی می‌تواند بر خواص مواد و توانایی آن در مقاومت در برابر بمباران یونی تأثیر بگذارد. آخرین مورد آسیب تابش است، هنگامی که یون‌های پرانرژی با مواد دیوار توکامک برهمکنش می‌کنند، مقدار قابل توجهی انرژی به مواد منتقل می‌کنند. این انرژی می‌تواند منجر به جایه‌جایی اتم‌ها از موقعیت شبکه آن‌ها شود که منجر به تشکیل نقص‌های ناشی از تشعشع می‌شود. این عیوب می‌تواند شامل جاهای خالی ( محل‌های شبکه خالی)، بینابینی ( اتم‌های اضافی در شبکه) و انواع مختلف عیوب نقطه‌ای باشد. با گذشت زمان، تجمع این عیوب می‌تواند خواص مکانیکی و حرارتی مواد را تحت تأثیر قرار دهد [۱۳-۱۴]. آزمایش مواد مجاور با پلاسمما بسیار مهم است زیرا این مواد در رآکتورهای همچو شی در معرض شرایط شدید تابشی و گرمایی مانند ذرات پلاسمما پرانرژی و تشعشعات نوترونی قرار می‌گیرند. مواد مجاور با پلاسمما باید قادر به تحمل این شرایط با کمترین آسیب یا تخریب قابل توجه باشند تا از عملکرد ایمن و کارآمد رآکتور اطمینان حاصل شود. علاوه بر این، مواد مجاور با پلاسمما نقش مهمی در عملکرد و کارایی یک رآکتور همچو ایفا می‌کنند، زیرا آن‌ها مسئول جذب انرژی آزاد شده در طی واکنش‌های همچو و انتقال گرما از رآکتور هستند. بنابراین، رفتار و خواص مواد مجاور با پلاسمما به طور قابل توجهی بر عملکرد کلی

## ۱. مقدمه

مولیبدن و تنگستن دو ماده‌ای هستند که برای استفاده در ساخت اولین دیواره توکامک پیشنهاد می‌شوند. هر دو ماده دارای خواص منحصر به فردی هستند که آن‌ها را برای این کاربرد مناسب می‌کند [۱-۴]. در اینجا تفاوت‌های مولیبدن و تنگستن به عنوان مواد پیشنهادی در ساخت اولین دیواره توکامک به همراه مزایا و معایب آن‌ها آورده شده است. مولیبدن یک فلز دیرگداز با نقطه ذوب بالا ۲۶۲۳ درجه سانتی‌گراد است که آن را برای استفاده در کاربردهای با دمای بالا مناسب می‌سازد. رسانایی حرارتی خوبی دارد و می‌تواند بارهای حرارتی بالایی را تحمل کند که این ویژگی برای دیوار اول توکامک بسیار حائز اهمیت است. مولیبدن همچنین دارای خواص مکانیکی خوبی است که آن را در برابر تغییر شکل، قوی و مقاوم می‌کند [۵]. علاوه بر این، نقطه ذوب بالا رسانایی حرارتی خوب خواص مکانیکی خوب بازده کندو پاشی کم از عمدۀ مزایای آن است. مولیبدن بازده کندو پاش پایینی دارد، به این معنی که در برابر فرسایش ناشی از برخورد ذرات پلاسمما با سطح مقاومت می‌کند. مفهوم بازده کندو پاش این است که وقتی که ماده توسط ذرات پرانرژی مانند یون‌ها بمباران شود. چه کسری از ذرات فرودی می‌توانند اتم‌ها را از طریق کندو پاش از سطح ماده جدا کنند. بازده کندو پاش مولیبدن (Mo) را می‌توان با استفاده از تکنیک‌های مختلف تجربی یا محاسباتی محاسبه کرد. بازده کندو پاش را می‌توان با تابش یک نمونه مولیبدن با یون‌هایی با اثری و شار شناخته شده و اندازه‌گیری تعداد اتم‌های پراکنده شده به صورت تجربی تعیین کرد. این اندازه‌گیری معمولاً با استفاده از تکنیک‌هایی مانند طیفسنجی پس‌پراکندگی رادرفورد<sup>۱</sup> انجام می‌شود. در شبیه‌سازی دینامیک مولکولی کندو پاش را می‌توان با استفاده از شبیه‌سازی دینامیک مولکولی تعیین کرد. معایب مولیبدن به عنوان یک ماده مجاور با پلاسمما<sup>۲</sup> در رآکتورهای همچو هسته‌ای عمدهاً به عدد اتمی بالای آن مربوط می‌شود که آن را مستعد فعل شدن نوترونی می‌کند. هنگامی که مولیبدن توسط نوترون‌های پرانرژی بمباران می‌شود، تبدیل به هسته‌ی رادیواکتیو شده و ایزوتوپ‌هایی تولید می‌شود که می‌توانند برای دهه‌ها یا حتی قرن‌ها باقی بمانند و مشکلات احتمالی ایمنی و رادیواکتیو شدن مواد را به همراه داشته باشند [۶].

تنگستن: تنگستن یکی دیگر از فلزات دیرگداز با نقطه ذوب ۳۴۲۲ درجه سانتی‌گراد است که این ویژگی آن را برای استفاده در محیط‌های با دمای‌های بالا مناسب می‌کند. بالاترین نقطه ذوب را در بین فلزات دارد و بسیار قوی و بادوام است. تنگستن

1. Rutherford Backscatterin

2. Plasma Facing Material



بزرگ‌تر جابه‌جا شدند [۲، ۴، ۱۵، ۱۷]. موهانتی و همکاران در کاری مشابه نمونه‌های تنگستن را در ۲۰ تخلیه خازنی با هیدروژن در زوایای مختلف نسبت به محور آند مورد تابش قرار دادند. نتایج تحقیق آن‌ها نشان می‌دهد که در اثر تابش پروتون‌های پرانرژی ترک‌ها، تاول‌ها و ذوب شدگی در اثر انتقال گرمای پروتون‌های پرانرژی بر سطح تنگستن به وجود آمد. نتایج سختی‌سنگی در آن‌ها نشان داد که سختی نمونه‌ها بعد از تابش با یون‌های پرانرژی هیدروژن کمی کاهش پیدا کرد. همچنین نتایج آنالیز پراش پرتو ایکس نشان می‌دهد که در اثر تابش یون‌های پرانرژی هیدروژن محل قله نمونه تابش داده شده به سمت زوایای بزرگ‌تر جابه‌جا شده است [۱۸]. نیرانجان و همکاران تغییرات سطحی ایجاد شده روی مواد مواجه با پلاسمای (تنگستن، نیکل، فولاد ضدزنگ<sup>۳</sup>، مولیبدن و مس) را با استفاده از پلاسمای همجوشی ایجاد شده در دستگاه پلاسمای کانونی مورد بررسی قرار دادند. نتایج میکروسکوپ الکترونی روبشی<sup>۴</sup> که در شرایط برهم‌کنش جریان یون‌های پرانرژی دوتربیوم با پلاسمای داغ تولید شده در دستگاه های پلاسمای کانونی PF-۱۰۰۰ و PF-۶ مشاهده شد نشان داد که با افزایش تعداد تخلیه خازنی ترک‌های ایجاد شده باریک به ترک‌های عمیق و بزرگ‌تر تبدیل می‌شوند [۱۹]. اما در تحقیقات انجام شده توسط دستگاه پلاسمای کانونی بر روی مواد مواجه با پلاسما گزارش‌های بسیار کم و به صورت کمی در رابطه با تابش‌دهی سایر مواد پیشنهادی از جمله مولیبدن وجود دارد. مقایسه آسیب تشعشع بر روی مولیبدن و تنگستن ضروری است زیرا این دو فلز معمولاً به عنوان مواد رو به پلاسمای رآکتورهای همجوشی هسته‌ای استفاده می‌شوند. این مواد در معرض شرایط شدید از جمله دماهای بالا، تشعشعات شدید و ذرات پرانرژی هستند. بنابراین، درک نحوه عملکرد این مواد در چنین شرایطی برای طراحی و عملکرد رآکتورهای همجوشی بسیار مهم است.

در حالی که تنگستن و مولیبدن هر دو خواص فیزیکی و مکانیکی مشابهی دارند، رفتارهای مقاومت در برابر تشعشع متفاوتی دارند. مقایسه آسیب تشعشع بر روی مولیبدن و تنگستن می‌تواند بینش‌های ارزشمندی را در مورد عملکرد این مواد در شرایط شدید ارائه دهد. این می‌تواند به شناسایی نقاط قوت و ضعف آن‌ها کمک کند و به توسعه مواد جدید با مقاومت در برابر تشعشع بپسند یافته برای استفاده در رآکتورهای همجوشی کمک کند. از این‌رو بررسی آسیب تشعشع بر مولیبدن و تنگستن موضوعی مناسب و مهم برای پژوهش‌ها در حیطه مواد مجاور با پلاسمای باشد.

### 3. Stainless Steel

### 4. Scanning Electron Microscope (SEM)

### Journal of Nuclear Science, Engineering and Technology

Vol. 45 (4), Serial Number 109, 2024, P 103-111

و دوام انرژی همجوشی به عنوان یک منبع انرژی پاک و پایدار تأثیر می‌گذارد. آزمایش مواد مجاور با پلاسما به محققان امکان می‌دهد دوام، پایداری و مقاومت آن‌ها در برابر تشعشع و فرسایش پلاسمایی را ارزیابی کنند و اطلاعات ارزشمندی را برای طراحی و توسعه رآکتورهای همجوشی ارائه دهنند. همچنین امکان آزمایش مواد جدید و نوآورانه را فراهم می‌کند که منجر به کشف مواد کارآمدتر و مقرن به صرفه برای استفاده در رآکتورهای همجوشی می‌شود. به طور خلاصه، آزمایش مواد مجاور با پلاسما برای عملکرد ایمن و کارآمد رآکتورهای همجوشی و برای توسعه و بهبود مستمر فناوری انرژی همجوشی ضروری است.

دستگاه‌های پلاسمای کانونی با استفاده از منبع تغذیه پالسی با یونیزه کردن یک گاز کم‌فارشار، پلاسمای با چگالی و انرژی بالا (پلاسمای همجوشی) تولید می‌کنند. سپس از این پلاسمایی تواند برای مطالعه مواد مختلف، استفاده کرد، دستگاه پلاسمای کانونی از لحاظ ایجاد شرایط مشابه که در توکامک‌های آینده در اثر نایابیداری‌های گسیختگی و ELM<sup>۱</sup> که باعث برخورد یون‌های پرانرژی، جریان پلاسمایی و موج ضربه به دیواره اول توکامک‌ها می‌شود بسیار مناسب است. در نتیجه دستگاه پلاسمای کانونی ابزاری مناسب برای آزمایش مواد مجاور با پلاسما در برابر تابش است. در ادامه نتایج مربوط به تحقیقاتی که در آن اثرات تخریبی یون‌های پرانرژی در آزمایش مواجه پلاسمایی با ماده با استفاده از دستگاه پلاسمای کانونی بر روی مواد مختلف انجام گرفت به طور خلاصه بیان شده است. دامیده و همکاران اثرات تخریبی یون‌های پرانرژی دوتربیوم بر روی تنگستن را با تخلیه‌های با انرژی‌های مختلف دستگاه پلاسمای کانونی ۲/۲ کیلوژول در فواصل مختلف مورد بررسی قرار دادند [۱۲]. در این آزمایش انرژی متوسط و شار یون‌های دوتربیوم به ترتیب ۵۶ کیلو الکترون ولت و  $10^{۲۶} \text{ ions m}^{-2}\text{s}^{-1}$  است. نتیجه این تابش تشکیل ترک‌های ۳۰۰ تا ۵۰۰ نانومتری و حفره‌هایی تا ۵ میکرومتر بسته به فاصله آن از سر آند است [۱۶]. دوتا و همکاران اثرات تخریبی یون‌های هلیوم تولید شده در دستگاه پلاسمای کانونی ۲/۲ کیلوژول را بر روی تنگستن مورد بررسی قرار دادند. آن‌ها نمونه‌های تنگستن را در ۱۰ زوایای مختلف نسبت به محور آند قرار داده و تحت تابش ۱۰ تخلیه خازنی قرار دادند. نتیجه مشاهده شده ترک‌های یکنواختی بود که بر روی تنگستن به عرض ۱ الی ۴ میکرومتر ایجاد شد. نتایج آنالیز پراش پرتو ایکس<sup>۲</sup> نیز نشان داد که در نمونه‌های تابش داده شده با هلیوم قله‌ها به سمت زوایای

### 1. Edge Local Modes

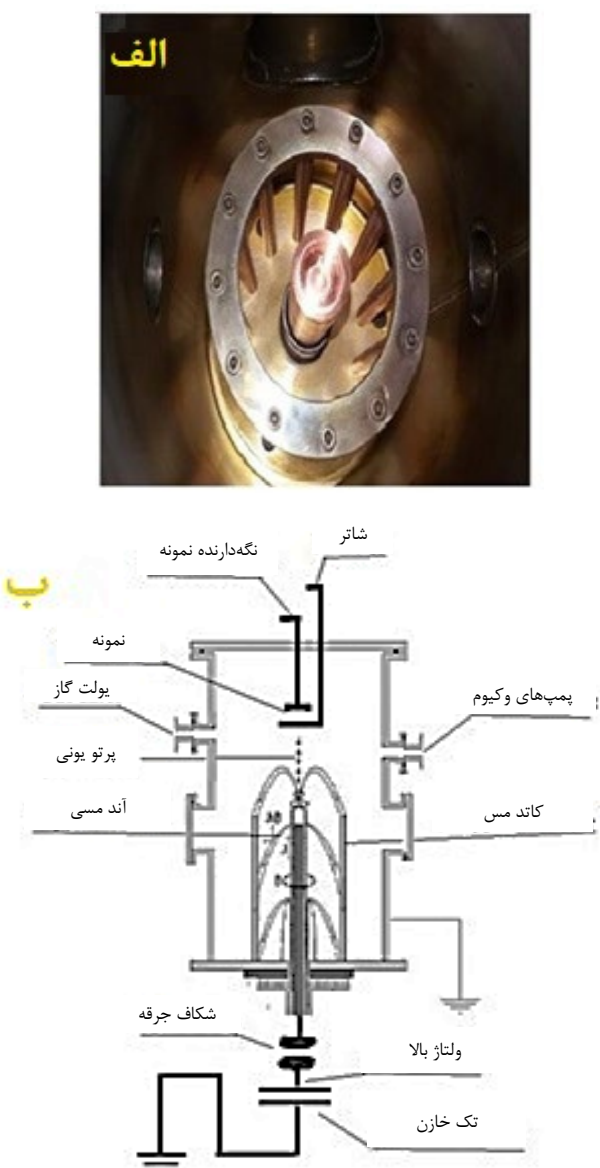
### 2. X-Ray Diffraction (XRD)

مجله علوم، مهندسی و فناوری هسته‌ای

دوره ۴۵، شماره ۳، جلد ۱۰۹، پاییز ۱۴۰۳، ص ۱۱۱-۱۰۳



آند حرکت می‌کند. لایه جریان زمانی که به بالای سر آند می‌رسد توسط نیروی بین رشته‌های جریان هم‌جهت به سمت محور مرکزی آند جمع شده و تشکیل تنگش<sup>۱</sup> می‌دهد. تنگش تشکیل شده دارای چگالی بسیار بالا و دمای خیلی زیاد است. عمر تنگش بسیار کوتاه بوده (در حدود ۳۰ نانو ثانیه) و ناپایدار است. در اثر ناپایداری  $m =$  تنگش پلاسمایی فروپاشی می‌کند و الکترون‌هایی به دام افتاده در فضای تنگش با انرژی‌های زیاد به سطح آند برخورد کرده و باعث تولید اشعه ایکس سخت می‌شود. این برخورد باعث تجمع بخار ذرات در بالای سر آند می‌شود [۱۱، ۹، ۸].



شکل ۱. (الف) طرح‌واره دستگاه پلاسمای کانونی MTPF-۲، (ب) آرایه آند و کاتدهای دستگاه پلاسمای کانونی.

در این پژوهش برای بررسی اثرات تخریبی تابش، از یون هیدروژن، به جای دوتربیوم و تربیتیوم استفاده شده است. دوتربیوم و تربیتیوم ایزوتوپ‌های هیدروژن هستند، به این معنی که تعداد پروتون‌های یکسانی دارند اما تعداد نوترون‌های متفاوتی دارند. این شباهت به محققان اجازه می‌دهد تا اثرات ایزوتوپ‌های هیدروژن را بر روی مواد به عنوان نماینده‌ای برای دوتربیوم و تربیتیوم بدون چالش‌های مربوط به تهیه دوتربیوم و تربیتیوم و ملاحظات ایمنی مرتبط با مدیریت ایزوتوپ‌های رادیواکتیو مطالعه کنند.

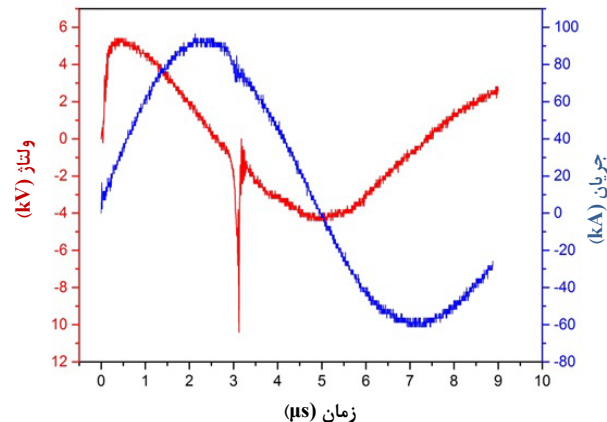
## ۲. چیدمان آزمایشگاهی

در شکل ۱ دستگاه پلاسمای کانونی MTPF-۲ کیلوژول ۲/۷ از نوع مدر و حداکثر ولتاژ شارژ ۲۰ کیلو ولت، بانک خازنی به ظرفیت ۱۳/۵ میکرو فاراد، جریان تخلیه ۱۰۰ کیلو آمپر و اندوکتانس ۱۵۸ نانو هانری به عنوان منبع تولید یون‌های هیدروژن پرانرژی برای پرتودهی نمونه‌ها مورد استفاده قرار گرفته است. ساختار الکترودهای این دستگاه در شکل ۱ نشان داده شده است.

تعداد ۱۲ عدد کاتد به صورت متقاضن در اطراف آند قرار گرفته‌اند. در نوک آند یک حفره به شعاع ۱۰ میلی‌متر و عمق ۱۰ میلی‌متر به منظور کاهش مقدار بخار مس ناشی از برخورد الکترون‌ها به سطح آند، ایجاد شده است. در ابتدا برای به دست آوردن فشار بهینه و ولتاژ بهینه، در فشارها و ولتاژهای مختلف، در غیاب نمونه‌ها تخلیه‌ها انجام شد. سپس تخلیه‌ها در تمام آزمایش‌ها برای گاز هیدروژن در فشار بهینه ۱ میلی‌بار ولتاژ کاری ۱۲ کیلو ولت انجام شدند. نمونه‌ها در فاصله ۶ سانتی‌متری از سر آند و در ۲۰ تخلیه خازنی تحت تابش یون‌های هیدروژن قرار گرفتند. در دستگاه MTPF-۲ (نوع مدر)، بعد از پیدا کردن فشار و ولتاژ بهینه، بیش از ۹۰ درصد موقع در تخلیه اول تا تخلیه ۷ ام، تنگش‌های قوی تشکیل می‌شود، ولی برای اطمینان و حفظ کارایی دستگاه، فشار گاز بعد از حداکثر ۵ تخلیه تا  $10^{-3}$  میلی‌بار کاهش داده می‌شد تا ناخالصی‌های که از سطح الکترودها و محفظه وارد گاز می‌شود تخلیه و سپس گاز جدید جایگزین می‌شد. مکانیسم شتاب‌گیری یون‌ها در دستگاه پلاسمای کانونی در اثر تخلیه بانک خازنی بر روی آند و ایجاد اختلاف پتانسیل بین کاتد و آند شکل می‌گیرد. گاز داخل محفظه دستگاه پلاسمای کانونی دچار شکست الکتریکی می‌شود و رشته‌های جریان بین آند و کاتدها برقرار می‌شوند. این لایه جریان در اثر نیروی لورنتس به سمت انتهای



نمونه‌های صیقل داده شده مولیبدن و تنگستن در اندازه ۱ سانتی‌متر در ۱ سانتی‌متر با ضخامت ۱ میلی‌متر با قرار گرفتن در فاصله ۶ آماده شد. نمونه‌های مولیبدن و تنگستن در سانچه ۶ سانچه از نوک آند توخالی و در راستای محور آن قرار داده شد. یون‌های پرانرژی هیدروژن تولید شده در دستگاه پلاسمای کاتونی MTPF-۲ برای تابش‌دهی سطوح مولیبدن و تنگستن در ۲۰ تخلیه مورد استفاده قرار گرفتند. در این تعداد تخلیه تمامی اثرهای تخریبی به وضوح قابل ارزیابی است. طبق تحقیقات انجام شده تاکنون این تعداد تخلیه امکان برسی و مقایسه اثرات تخریبی در تخلیه‌های برابر با یون‌های یکسان برای مواد مختلف را فراهم می‌کند. بعد از تابش‌دهی نمونه‌ها با گاز هیدروژن از برآقی سطح نمونه‌ها کاسته شد. تغییرات ایجاد شده در سطح نمونه‌ها با چشم غیرمسلح نیز قابل روئیت بود. تصویر SEM از سطح نمونه تنگستن و مولیبدن قبل از تابش‌دهی به ترتیب در شکل‌های (۳-الف) و (۳-ب) نشان داده شده است. این تصاویر نشان می‌دهد سطح نمونه‌ها صاف و هموار است. از سطح نمونه‌ها بعد از تابش‌دهی با یون‌های هیدروژن تصاویر SEM به صورت عمودی با بزرگنمایی‌های مختلف گرفته شد. از زاویه ۲۰ درجه نسبت به سطح نیز تصاویر SEM گرفته شد. این تصاویر مورفولوژی سطح را بهتر از تصاویر عمودی نشان می‌دهند.



شکل ۲. جریان تخلیه و مشتق جریان تخلیه در دستگاه پلاسمای کاتونی.

پس از فروپاشی پلاسمای یونی نیز با انرژی‌های نسبتاً زیاد در جهت مخالف الکترون‌ها گسیل می‌شوند. گستره انرژی باریکه‌های یون در دستگاه پلاسمای کاتونی که با انرژی ذخیره شده در محدوده چند کیلو ژول تا چند مگا ژول عمل می‌کنند در محدوده دهها کیلو الکترون‌ولت اندازه‌گیری شده است.

### ۳. نتایج

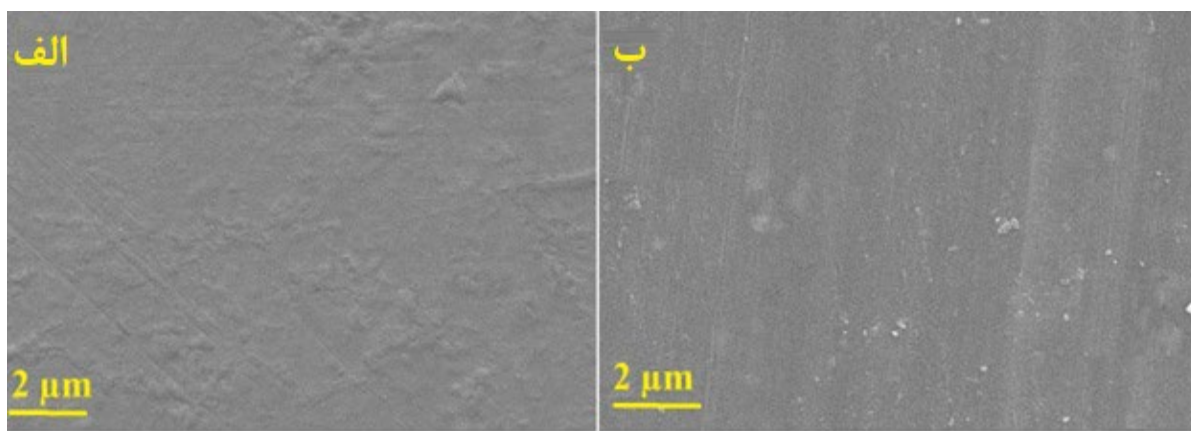
از کد لی برای محاسبه مشخصات باریکه‌های یونی تولید شده و تعداد یون‌های ساطع شده از ستون پلاسمای در هنگام تنگش استفاده شده است.

جدول ۱. مشخصات باریکه یونی هیدروژن تولید شده در دستگاه پلاسمای کاتونی

باریکه یونی هیدروژن	واحد	باریکه یونی هیدروژن	واحد	باریکه یونی هیدروژن	واحد
۵,۶	$\times 10^{12} \text{ W m}^{-2}$	شار انرژی <sup>۲</sup>	kA	جریان قله <sup>۱</sup>	پارامترهای یونی
۳۰,۷	Ns	مدت زمان تنگش <sup>۴</sup>	kA	جریان تنگش <sup>۳</sup>	
۸,۲	kA	جريان یون <sup>۶</sup>	cm/μs	حداکثر سرعت محوری <sup>۵</sup>	
۵,۶	$\times 10^{12} \text{ W m}^{-2}$	شار انرژی <sup>۸</sup>	cm/μs	حداکثر سرعت شوک <sup>۷</sup>	
۵,۴	$\times 10^8 \text{ A m}^{-2}$	جريان چگالی <sup>۱۰</sup>	cm/μs	حداکثر سرعت شعاعی <sup>۹</sup>	
۱۸	cm/μs	سرعت در خروج تنگش <sup>۱۲</sup>	J	انرژی پرتو یون <sup>۱۱</sup>	
۰,۳	% of E <sub>0</sub>	انرژی داخلی پلاسمای <sup>۱۴</sup>	$\times 10^{12} \text{ Wm}^{-2}$	شار پرتو یون پرانرژی <sup>۱۳</sup>	
۵,۰	J	کار صرف شده بر پلاسمای <sup>۱۶</sup>	$\times 10^8 \text{ W m}^{-2} \text{ s}^{-1/2}$	ضریب تخریب شار پرتو یون پرانرژی <sup>۱۵</sup>	
۷,۹	$\times 10^{14}$	تعداد یون در هر تخلیه <sup>۱۸</sup>	J	انرژی جریان پلاسمای <sup>۱۷</sup>	
۵,۴	$\times 10^8 \text{ A m}^{-2}$	جريان چگالی <sup>۲۰</sup>	$\times 10^{78} \text{ m}^{-2} \text{ s}^{-1}$	شار پرتو یون تولید شده در ستون تنگش <sup>۱۹</sup>	

1. Ipeak
2. En Flux
3. Ipinch
4. Pinch Duration
5. Va (Peak Axial Speed)
6. Ion Current
7. Vs (Peak Radial Shock Speed)
8. En Flux
9. Vp (Peak Radial Piston Speed)
10. Current Density
11. FIB Beam Energy
12. Ps Speed at Pinch Exit
13. FIB Energy Flux
14. Energy Into Plasma (EINP)
15. FIB Damage Factor
16. EINP Work Expended on the Pinch
17. Plasma Stream (ps) Energy
18. Number of Ions Per Shot
19. Jb Flux Ions (Ion Beam Generated by Pinch Column)
20. Current Density



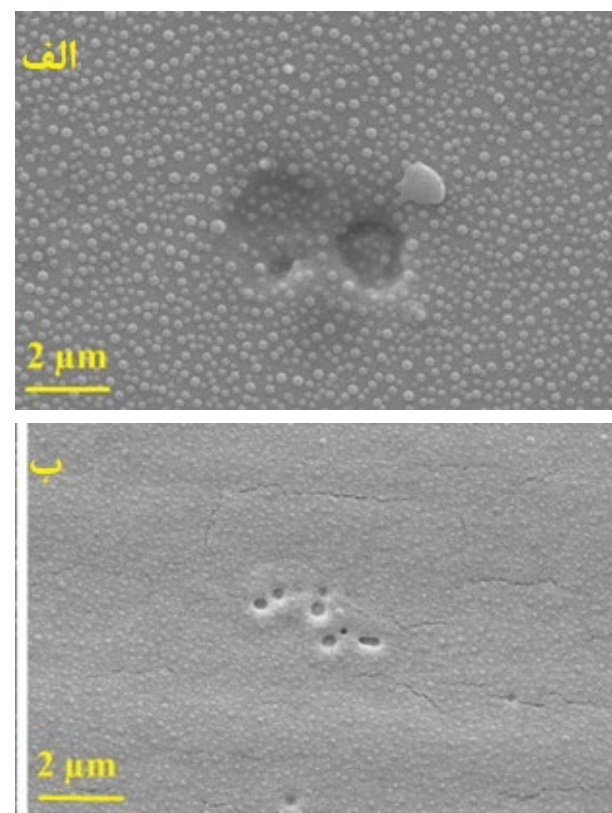


شکل ۳. (الف) سطح تنگستن بدون تابش (ب) سطح مولیبدن بدون تابش.

فرایندی که طی آن این حبابها به وجود می‌آیند، «تردی هیدروژنی<sup>۱</sup>» نامیده می‌شود و پدیده‌ای شناخته شده در علم مواد است. اتم‌های هیدروژن به دام افتاده می‌توانند تنش‌های داخلی در شبکه ایجاد کنند و شکل‌پذیری و استحکام آن را کاهش دهند. علاوه بر این، هیدروژن به دام افتاده می‌تواند باعث ایجاد حفره‌ها یا ترک‌ها شود که می‌تواند منجر به تشکیل تاول یا سایر نقص‌های سطحی شود.

تاول‌هایی که بر روی سطح مولیبدن و تنگستن تحت تابش یون‌های غنی از هیدروژن ایجاد می‌شوند، تصور می‌شود که نتیجه تجمع این حباب‌های هیدروژن در نزدیکی سطح باشد شکل ۵ همان‌طور که حباب‌ها رشد می‌کنند و بهم می‌پیونددند، می‌توانند بر فلز اطراف فشار وارد کنند و در نهایت باعث برآمدگی یا تاول زدن سطح شوند. مکانیسم دقیق تشکیل تاول به عوامل مختلفی از جمله نوع و انرژی یون‌های برخورده، دما و فشار سیستم و خواص خود فلز بستگی دارد. مکانیسم به دام انداختن هیدروژن در ساختار تنگستن و مولیبدن شامل اشباع یک تهی جا<sup>۲</sup> با اتم‌های هیدروژن برای تشکیل یک "ایه غربال‌گری" است. این لایه غربال‌گری می‌تواند برهمنکش بین اتم‌های هیدروژن به دام افتاده بیشتر و اتم‌های فلزی اطراف آن را غربال کند و باعث می‌شود این اتم‌های هیدروژن به مراکز تهی‌جاهها بروند. در نتیجه، یک مولکول هیدروژن می‌تواند در تهی‌جاه‌ها تشکیل شود که به عنوان مرحله مقدماتی هسته‌سازی حباب هیدروژن در نظر گرفته می‌شود. یک تهی جا می‌تواند به طور همزمان ۱۲ اتم هیدروژن در تهی‌جاه‌ای تنگستن به دام بیندازد. به دام انداختن اتم‌های هیدروژن به طور کلی قانون "چگالی بار بهینه" در جای خالی را برآورده می‌کند. رفتار

هنگامی که مولیبدن و تنگستن در معرض یون‌های هیدروژن با انرژی بالا مانند پروتون‌ها یا دوترون‌ها قرار می‌گیرند، یون‌ها می‌توانند به سطح نفوذ کرده و در شبکه فلزی کاشته شوند. با گذشت زمان، این یون‌ها می‌توانند جمع شده و خوش‌های یا حباب‌هایی را تشکیل دهند که منجر به ایجاد تاول یا تغییر شکل سطحی می‌شود شکل ۴.



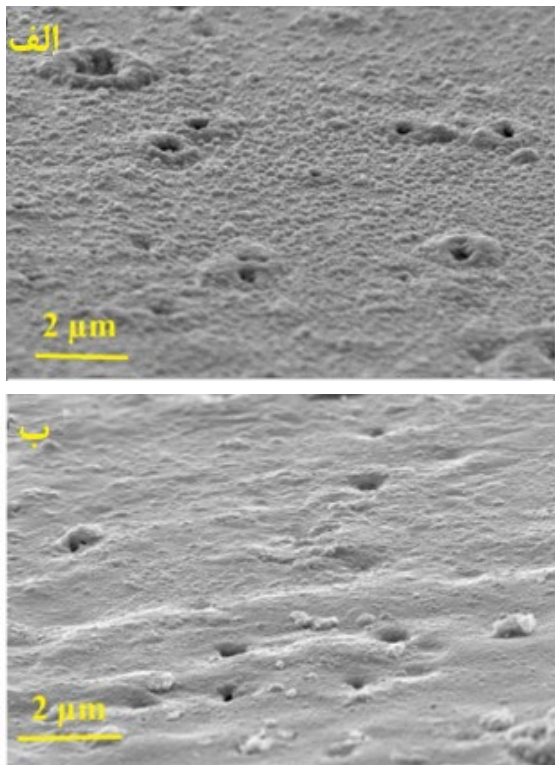
شکل ۴. (الف) تنگستن تابش‌دهی شده در ۲۰ شات هیدروژن (ب) مولیبدن تابش‌دهی شده در ۲۰ شات هیدروژن.

1. Hydrogen Embrittlement

2. Vacancy

Journal of Nuclear Science, Engineering and Technology

Vol. 45 (4), Serial Number 109, 2024, P 103-111



شکل ۵. (الف) تنگستن تابشده شده در ۲۰ شات هیدروژن ب) مولیبدن تابشده شده در ۲۰ شات هیدروژن.

#### ۴. نتایج حاصل از کد SRIM

برای محاسبه کمی آسیب تابش و تخریب ایجاد شده در اثر بمباران سطح تنگستن و مولیبدن با یون‌های هیدروژن از کد SRIM استفاده شد. برد ذرات هیدروژن در تنگستن و مولیبدن و جابه‌جایی ایجاد شده در ماده به صورت تابعی از عمق و جابه‌جایی بر اتم (DPA) ناشی از تابش یون‌های هیدروژن بر تنگستن و مولیبدن برآورد شد. برای محاسبه اثرات تخریبی از گزینه محاسبه سریع استفاده شد. با استفاده از این پارامتر در معادله (۱)، میزان تخریب محاسبه می‌شود.

$$\text{Damage Rate} = \frac{\text{Flux} \left[ \frac{\text{ion}}{\text{shot} - (A^o)^r} \right] \times \text{Displacement} \left[ \frac{1}{\text{ion} - (A^o)} \right]}{\text{Atomic Density} \left[ \frac{\text{atoms}}{(A^o)^r} \right]} \left[ \frac{\text{DPA}}{\text{shot}} \right] \quad (1)$$

برای شبیه‌سازی با کد SRIM طیف یونی هیدروژن تولید شده در دستگاه پلاسمای کانونی به صورت فایل ورودی TRIM.DAT به کد SRIM داده شد.

نتایج کد SRIM در شکل ۶ نشان می‌دهد که بیشترین تخریب ایجاد شده در مولیبدن ناشی از یون‌های هیدروژن در عمق ۱۵۰ نانومتری و به اندازه ۰،۰۱۴ dpa/shot است.

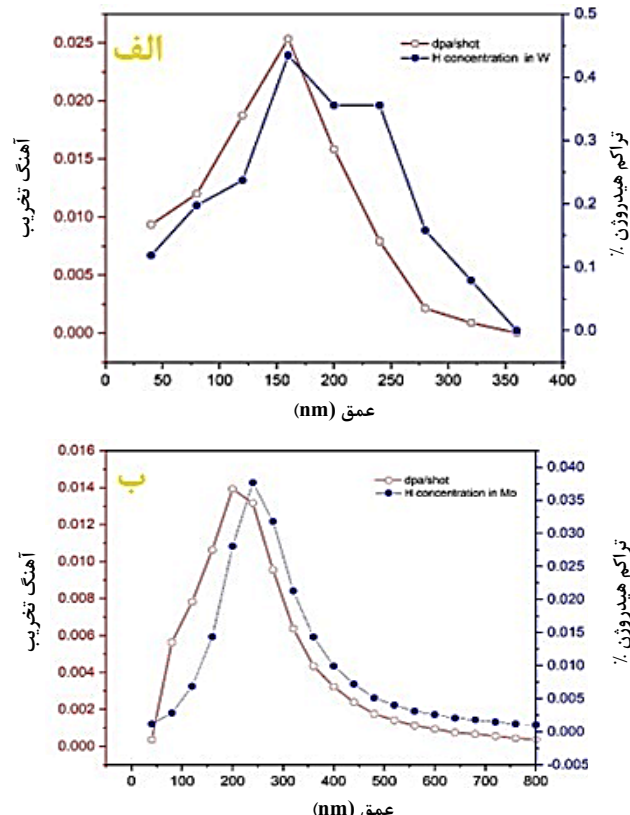
هیدروژن در داخل تنگستن و مولیبدن از نظر مکانیسم‌های به دام انداختن و تشکیل حباب‌های هیدروژن مشابه است. هر دو ماده قانون «چگالی بار بهینه» را در تهی‌جاها برآورده می‌کنند، و یک تهی‌جا می‌تواند به طور همزمان چندین اتم هیدروژن یا مولکول هیدروژن را به دام بیندازد. با این حال، تفاوتی در تعداد اتم‌های هیدروژنی وجود دارد که می‌توانند توسط یک تهی‌جا در تنگستن و مولیبدن به دام بیفتدند. در پژوهش انجام شده با شبیه‌سازی دینامیک مولکولی نشان داده شده است که ۱۲ اتم هیدروژن را در یک تهی‌جا تنگستن به دام می‌افتد، در مقابل، مولیبدن می‌تواند تنها ۸ اتم هیدروژن را بدون تشکیل مولکول هیدروژن به دام بیندازد که از این امر می‌توان توضیح داد که چرا تاول‌های ایجاد شده در سطح تنگستن نسبت به مولیبدن بزرگ‌تر است. لازم به ذکر است که تشکیل تاول بر روی تنگستن و مولیبدن به دلیل تابش یون‌های هیدروژن پرانرژی می‌تواند اثرات متعددی بر عملکرد توکامک داشته باشد. تاول‌ها می‌توانند یکپارچگی مکانیکی مواد را با ایجاد غلظت نتش و تضعیف ساختار مواد به خطر بیندازند. این پدیده می‌تواند حساسیت مواد را به شکست مکانیکی مانند ترک خوردگی یا لایه‌لایه شدن افزایش دهد. هم‌چنین باعث ورود ذرات به داخل پلاسما و در پی آن سرد شدن و ناپایداری پلاسما شود. با توجه به این که ساختار تنگستن از لحاظ بلورهای با مولیبدن متفاوت است، شبیه‌سازی‌های دینامیک مولکولی نشان داده است که در تهی‌جاها موجود در تنگستن میزان اتم‌های هیدروژن محبوس شده نسبت به مولیبدن بیشتر است هم‌چنین نتایج نشان داده است که ضریب پخش هیدروژن در داخل مولیبدن بیشتر از تنگستن است بنابراین هیدروژن در داخل مولیبدن در عمق‌های بیشتری نفوذ می‌کند این در حالی است که در تنگستن هیدروژن در یک لایه سطحی با عمق کم به صورت تجمعی و خوش‌های متوقف می‌گردد به همین دلیل تاول‌های ایجاد شده در سطح تنگستن بزرگ‌تر از مولیبدن است، لازم به ذکر است نتایج شبیه‌سازی‌های نشان داده است که ایجاد تاول در سطح فلزات ناشی از تجمع و تراکم یون‌های هیدروژن می‌باشد به این معنی که با افزایش تراکم یون‌های هیدروژن تاول‌های ایجاد شده در سطح نیز بزرگ‌تر خواهند شد [۶، ۵].



### ۳. نتیجه‌گیری

در این مقاله اثرات تابش یون‌های پرانرژی هیدروژن تولید شده در دستگاه پلاسمای کانونی ۲/۷ کیلو ژول بر روی نمونه‌های تنگستن و مولیبden مورد مطالعه قرار گرفت. در این تحقیق از آنالیزهای SEM، برای بررسی اثرات سطحی یون‌های هیدروژن بر روی نمونه‌های تنگستن و مولیبden استفاده شد. بررسی تصاویر SEM نشان می‌دهد تغییرات سطحی ایجاد شده در سطح نمونه‌های تنگستن و مولیبden در اثر تابش یون‌های هیدروژن با هم متفاوت‌اند. به گونه‌ای که در اثر تابش یون‌های پرانرژی بر سطح تنگستن تاول‌های متراکم و بزرگ‌تر نسبت به مولیبden دیده می‌شود. در مورد نمونه‌ی مولیبden تابش داده شده با یون‌های پرانرژی هیدروژن در سطح مولیبden نامهواری‌ها و همچنین ترکهای باریک به همراه حفره‌هایی با قطر چند ده نانومتر در سطح ایجاد شده است. از کد لی به منظور مشخصه‌یابی باریکه یونی دستگاه پلاسمای کانونی استفاده شد. نتایج کد لی نشان می‌دهد که در هر تخلیه تعداد  $7.9 \times 10^{14}$  یون از ستون پلاسما ساطع می‌شود. از کد SRIM برای محاسبه تخریب ایجاد شده در مولیبden و مس و بررسی تراکم هیدروژن در عمق‌های مختلف تنگستن و مولیبden استفاده شد. بر اساس نتایج کد SRIM بیشینه مقدار dpa/shot برای نمونه‌های تنگستن و مولیبden تابش داده شده با یون‌های هیدروژن به ترتیب در عمق‌های ۱۵۰ و ۲۵۰ نانومتر و برابر با ۰/۰۲۵ و ۰/۰۱۴ برآورد شد. بیشینه تراکم یون‌های هیدروژن در نمونه تابش داده شده تنگستن و مولیبden در عمق‌های ۱۵۰، ۲۵۰ نانومتر به ترتیب ۰/۰۳۵ و ۰/۰۴ درصد می‌باشد.

بیشترین تراکم یون‌های هیدروژن نیز در عمق ۲۵۰ نانومتری و به میزان ۰/۰۳۵ درصد است. بیشترین تخریب ناشی از یون‌های هیدروژن در تنگستن در عمق ۱۵۰ نانومتری و به میزان ۰/۰۲۵ dpa/shot است. بیشترین تراکم یون‌های هیدروژن در عمق ۱۵۰ نانومتری و به میزان ۰/۰۴ درصد می‌باشد. تفاوت بارزی که در نتایج شبیه‌سازی اثرات تخریبی یون‌های هیدروژن در تنگستن و مولیبden دیده می‌شود بیشینه مکان بیشینه تخریب و مکان بیشینه تراکم یون‌های هیدروژن در مولیبden می‌باشد. علت این موضوع ناشی از این است که ضریب نفوذ هیدروژن در داخل مولیبden بیشتر از تنگستن است. همچنین تراکم هیدروژن در سطح تنگستن بیش از ۱۰ برابر مولیبden است نتایج فوق تطابق خوبی با نتایج حاصل از میکروگراف‌های SEM دارد همان‌گونه که در میکروگراف‌ها دیده می‌شود اندازه تاول‌های ایجاد شده در سطح تنگستن بسیار بزرگ‌تر از مولیبden است شبیه‌سازی‌های دینامیک مولکولی بیان می‌کند که رابطه مستقیمی بین اندازه تاول‌ها با تراکم هیدروژن در ناحیه زیرتاول‌ها وجود دارد به این ترتیب با افزایش تراکم هیدروژن در نمونه اندازه تاول‌ها نیز افزایش می‌یابد و این امر نشان می‌دهد که مابین نتایج حاصل از شبیه‌سازی SRIM با میکروگراف‌های SEM رابطه‌ای منطقی برقرار است.



شکل ۶. الف) نمودار کمی آسیب تابش بر حسب شات و تراکم هیدروژن بر حسب عمق تنگستن، ب) نمودار کمی آسیب تابش بر حسب شات و تراکم هیدروژن بر حسب عمق مولیبden.



## مراجع

1. Takamura S, Miyamoto T, Tomida Y, Minagawa T, Ohno N. Investigation on the effect of temperature excursion on the helium defects of tungsten surface by using compact plasma device. *Journal of Nuclear Materials*. 2011;415:S100-S103.
2. Dutta N, Buzarbaruah N, Mohanty S, Damage studies on tungsten due to helium ion irradiation. *Journal of Nuclear Materials*. 2014;452:51-56.
3. Bolt H, Barabash V, Krauss W, Linke J, Neu R, Suzuki S, Yoshida N, Team A.U. Materials for the plasma-facing components of fusion reactors. *Journal of Nuclear Materials*. 2004;329:66-73.
4. Asgarian M.A, Seyedhabashi M.M.R, Bidabadi B.S, Rasouli C, Sedighi F. Radiation damage of tungsten surface irradiated with high-energy hydrogen and helium beams of plasma focus device. *Fusion Engineering and Design*. 2020;160:112007.
5. Sun L, Jin S, Li X.-C, Zhang Y, Lu G.-H. Hydrogen behaviors in molybdenum and tungsten and a generic vacancy trapping mechanism for H bubble formation. *Journal of Nuclear Materials*. 2013;434:395-401.
6. Cui Y, Lu N, Niu C, Lv J, Liu W, Chen C, Ni W, Mei X, Lei G, Song J. The evolution of hydrogen bubbles during ion irradiation and annealing in molybdenum for neutral beam injection inductively coupled plasma source. *Nuclear Materials and Energy*. 2022;33:101298.
7. Sedighi F, Rasouli C, Iraji D, Kouhi A, Rafi-Kheiri H, Rasouli H, Seyedhabashi M. Investigation of hydrogen glow discharge cleaning side effects on tungsten. *Plasma Physics Reports*. 2021;47:128-138.
8. Seyedhabashi M.M.R, Asgarian M.A, Rasouli C, Sedighi F. Radiation Damage of Graphite Surface, Used in First-Wall and Divertor of Tokamaks, Irradiated by Hydrogen and Argon in Plasma Focus Device. *IEEE Transactions on Plasma Science*. 2022;50:1814-1822.
9. Seyedhabashi M, Shafiei S, Tafreshi M, Bidabadi B.S. Study of surface damage and hydrogen distribution in irradiated tungsten by protons in plasma focus device. *Vacuum*. 2020;175:109249.
10. Sedighi F, Kouhi A, Iraji D, Rasouli C, Bidabadi B.S, Seyedhabashi M.M, Rasouli H. Damage study and comparison the effects of high-energy pulsed-protons of plasma focus device with low-energy protons of glow discharge plasma of tokamak. *Plasma Research Express*. 2020;2:035001.
11. Seyedhabashi M.M.R, Tafreshi M.A, Shafiei S, Abdisaray A. Damage study of irradiated tungsten and copper using proton and argon ions of a plasma focus device. *Applied Radiation and Isotopes*. 2019;154:108875.
12. Seyedhabashi M.M.R, Tafreshi M.A, Shafiei S, Nasiri A. Damage studies on irradiated tungsten by helium ions in a plasma focus device. *Nuclear Engineering and Technology*. 2020;52:827-834.
13. Chamani A, Abtahi S.M.M, Tafreshi M.A.H, Seyedhabashi M.M.R. The comparison of the destructive effects of high energy protons produced in a plasma focus device on copper and molybdenum. *Radiation Safety and Measurement*. 2021;10:19-30.
14. Seyedhabashi M.M.R, Shirani Bidabadi B, Tafreshi M.A.H, Seddighi F, Nasiri A. Damage studies on irradiated tungsten by helium and argon ions in a plasma focus device. *Radiation Safety and Measurement*. 2020;9:1-12.
15. Tafreshi M, Habashi M, Bidabadi B, Abdisaray A, Shafiei S, Nasiri A. Investigating the effects of high-energy pulsed protons on the surface and structural properties of copper and tungsten by MTPF-2 plasma focus device. *Journal of Nuclear Science and Technology*. 2020;41:100-109.
16. Saw S.H, Damideh V, Ali J, Rawat R.S, Lee P, Lee S. Damage Study of Irradiated Tungsten using fast focus mode of a 2.2 kJ plasma focus. *Vacuum*. 2017;144:14-20.https://doi.org/10.1016/j.vacuum.2017.07.002.
17. Saw S, Damideh V, Ali J, Rawat R, Lee P, Lee S. Damage Study of Irradiated Tungsten using fast focus mode of a 2 kJ plasma focus. *Vacuum*. 2017;144:14-20.
18. Bhuyan M, Mohanty S, Rao C, Rayjada P, Raole P. Plasma focus assisted damage studies on tungsten. *Applied Surface Science*. 2013;264:674-680.
19. Niranjan R, Rout R, Srivastava R, Chakravarthy Y, Mishra P, Kaushik T, Gupta S.C. Surface modifications of fusion reactor relevant materials on exposure to fusion grade plasma in plasma focus device. *Applied Surface Science*. 2015;355:989-998.

## COPYRIGHTS

©2021 The author(s). This is an open access article distributed under the terms of the Creative Commons Attribution (CC BY 4.0), which permits unrestricted use, distribution, and reproduction in any medium, as long as the original authors and source are cited. No permission is required from the authors or the publishers.



استناد به این مقاله

سید حشی، میر محمد رضا. (۱۴۰۳)، مقایسه تأثیر تابش پالس پروتون‌های پرانرژی تولید شده در دستگاه پلاسمای کاتونی بر روی فلزات سخت. *مجله علوم، مهندسی و فناوری هسته‌ای*, ۱۰۹(۳)، ۱۱۱-۱۰۳. DOI: <https://doi.org/10.24200/nst.2024.1594>



